

コンクリートを充填した鋼管短柱の弾塑性挙動に関する基礎的研究

大阪市立大学工学部 正員 中井 博

大阪市立大学工学部 正員 北田 俊行

○大阪市立大学工学部 学生員 吉田 康樹

1. 研究目的

最近、鋼とコンクリートとを組み合わせた合成および複合構造物に注目されるようになったが、その耐荷力を評価する上で重要な、3軸応力状態のもとにおけるコンクリートの弾塑性挙動や鋼とコンクリートの境界面での摩擦・すべり挙動については、十分に把握されていないのが現状である。本研究は、純圧縮を受けるコンクリート充填鋼管を用いて、コンクリートに三軸応力状態を再現し、その弾塑性挙動および強度特性を主として実験的に明らかにし、今後の研究の参考資料を得ようとしたものである。

2. 供試体の形状寸法および機械的性質

供試体に用いた鋼管の形状寸法を、図-1に、鋼管と充填コンクリートの機械的性質を、表-1に示す。

鋼管の板厚もは、3.5mm(4体), 4.5mm(8体), 5.0mm(3体)の3種類とした。鋼材はSTK41材である。

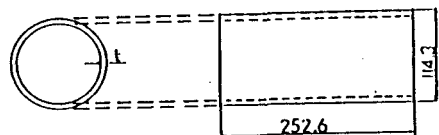


図-1 鋼管の形状寸法 単位(mm)

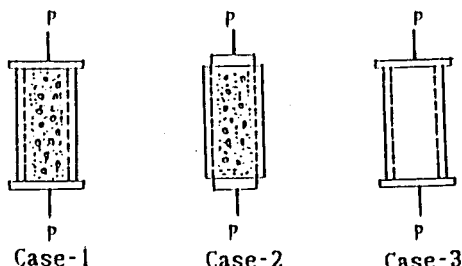
表-1 供試体の機械的性質

供試体	鋼 管			充填コンクリート			σ_y : 鋼管の降伏点 E_s : 鋼管のヤング係数 ν_s : 鋼管のポアソン比
	鋼管種類 (mm)	σ_y (kg/cm ²)	E_s ($\times 10^6$ kg/cm ²)	ν_s	f_o (kg/cm ²)	E_c ($\times 10^5$ kg/cm ²)	
A(4体)	φ114.3×3.5	3400	2.113	0.313	176	1.873	0.17
B(4体)	φ114.3×4.5	3700	2.085	0.296	176	1.873	0.17
C(4体)	φ114.3×4.5	3336	2.389	0.275	349	2.893	0.204
D(3体)	φ114.3×5.0	2844	2.596	0.270	349	2.893	0.204

A,B: 樹目あり鋼管, C,D: シームレス鋼管

3. 載荷方法

載荷方法としては、図-2に示すような3ケースを考えた。



Case-1: 鋼管とコンクリートを同時に載荷する形式

Case-2: コンクリートのみに載荷する形式
Case-3: 鋼管のみに載荷する形式

図-2 供試体の載荷方法

4. 実験結果およびその考察

4.1 Ottosen¹⁾とCai²⁾の破壊基準

Case-2の載荷形式による供試体C-2において、鋼管の測定ひずみから逆算した中央断面のコンクリートの応力経路と、OttosenおよびCaiの破壊基準とを図-3に示す。

コンクリートに発生する側圧 σ_1 と軸方向圧縮応力 σ_3 の応力経路はCaiの破壊基準に沿って進行していること $\frac{\sigma_3}{\sigma_1}$ がわかる。今後は、これらの破壊基準を降伏基準のように取り扱えば、鋼に閉じ込められたコンクリートの弾塑性挙動がシミュレートできるものと思われる。

その際、Caiの破壊基準は式も簡単で、実際の現象とよく一致し、実用的であると思われるが、合成柱にしか適用できず、一般性に欠ける。それに反し、Ottosenの基準は、全てのコンクリートに適用可能である。Case-1の場合は、鋼とコンクリートのポアソン比の差により、極限状態付近までコンクリートは三軸応力状態にならないことがわかった。

4.2 合成柱の応力-変位曲線に関する考察

鋼とコンクリートとの境界面での摩擦力が、ゼロであると仮定して、Ottosenの理論を用いて、合成柱の弾塑性挙動を追跡してみた。図-4に示すように、Case-2の場合の解析結果は、累加強度付近までは、実験結果とよく一致している。しかし、累加強度を越えると、実験結果との誤差が大きくなる。これは、理論解析の仮定や鋼管に含まれる残留応力の無視などに起因するものと考えられる。

4.3 累加強度について

図-4に示すように、累加強度を越える荷重まではどの供試体も弾性挙動を示し、各供試体とも累加強度を大きく上回る耐荷力が得られている。累加強度は合成短柱の耐荷力としては、かなり安全側であると考えられる。

5.まとめ

- (1)コンクリートの破壊基準を、降伏基準のように取り扱えば、鋼に閉じ込められたコンクリートの三軸応力挙動がシミュレートできることがわかった。
 - (2)Ottosenの理論による解析結果は、今回の実験結果とそれほど一致しなかった。しかし、Ottosen等の理論の妥当性について考察するには、境界面での摩擦や残留応力が考慮できる解析を行い、その結果と比較することが必要であると考えられる。
- その他、詳細については、発表当日、申し上げる予定である。

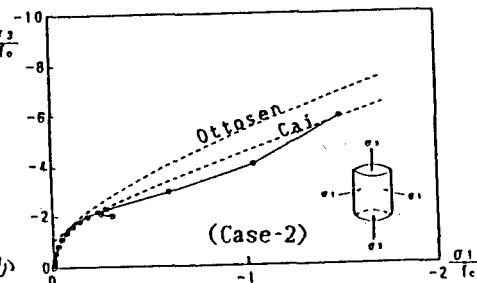


図-3 $\sigma_3 - \sigma_1$ 曲線(供試体C-2)

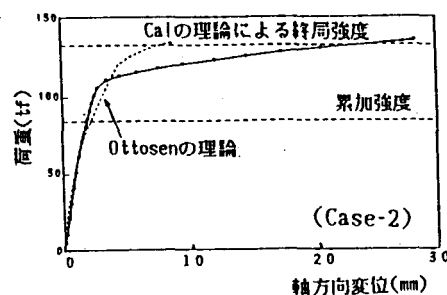


図-4 荷重-圧縮変位曲線(供試体D-2)